

関西大学 大学院 学生員 小島廣夫
 関西大学 工学部 正員 青山千鶴
 関西大学 工学部 正員 西田一彦

1. まえがき

粘土の圧密にともなう構造変化については種々の観点から研究されている。土粒子の配向性からみたり、土粒子の集合状態からみたりのが主流であるが、とくに、一次圧密と二次圧密過程においては、関する間隙が異なることが推定されており、土中の間隙の分布からみた圧密特性の解明は重要であると考えられる。しかし、その具体的実例は少しく、仮定にもとづく考察や、定性的説明にとどまっている。そこで、本研究では、カオリナイトの圧密中の間隙分布を実測し、それと圧密特性の関係を示したものである。

2. 試料および実験方法

実験に用いた試料は、カオリナイト（クラウンクレー）である。その物理的性質は、 $G_s 2.65$, $LL 122.7\%$, $PL 40.2\%$, $PI 82.5\%$, 自然含水比 1.09% である。試料は、水中に一週間沈殿させたものをとり出して、液性限界状態にしてから、圧密試験に用いた。間隙分布測定は水銀圧入法を用いた。この試料は、圧密の各荷重段階終了のち除荷し、約 1 cm の立方体に整形後、凍結乾燥したもの用いた。装置は、ポロシメーター（CALRO-E RBA社製 AGG5）を行った。

3. 結果と考察

圧密試験の結果、間隙比と圧密荷重との関係を描くと図-1のようになる。図中からわかるように直線関係を示す。間隙分布測定の結果の一例は、図-2のようになつた。荷重が大きくなるにつれて間隙分布は、全体的に小さな間隙径へ移行する傾向を示し、ピークはシャープな形状を示す。

間隙分布測定結果を利用して、間隙分布を3つの区分、マクロポア ($> 10 \mu\text{m}$)、メソポア ($0.1 \mu\text{m} \sim 10 \mu\text{m}$)、ミクロポア ($< 0.1 \mu\text{m}$) に分けた。それぞれの間隙容積を間隙比に換算して、マクロ、メソ、ミクロポアに区分すると図-1のようになる。これによると、ミクロポアはほとんど変化を示さないが、マクロ、メソポアは荷重が増加するにつれて直線的に減少していく。荷重 25.6 kN/m^2 では、間隙のほとんどをミクロポアが占めるようになる。

ここで、 $e - \log P$ 曲線を利用してミクロポアが時間的にどのような変形をするかを解析してみる。ただし、図-1の関係は一定荷重下での圧密中の有効応力の変化と対応すること、 $e - \log P$ 曲線が直線を示すと同様、ミクロ

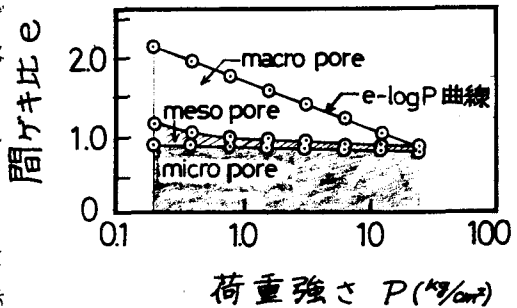


図-1 $e - \log P$ 曲線

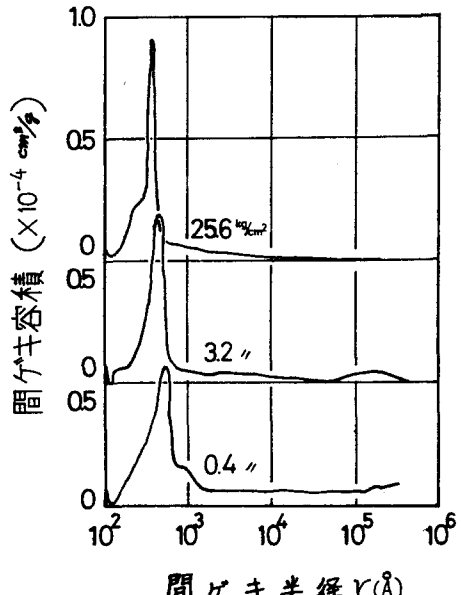


図-2 間隙分布曲線の一例

ポアーノの間ゲキ比と $\log P$ との関係も直線性が保たれると仮定する。図-3で、荷重 P が ΔP 変化すると間ゲキ比は e_i から e_{i+1} になる。この時の沈下量 S を $\Delta e = e_i - e_{i+1}$ に換算する。図-3の方法で任意の時間におけるミクロポアーノの間ゲキ比 e_{mi} を求め、間ゲキ比 e_i に対する比を、

$$\alpha = \frac{e_{mi}}{e_i} \times 100$$

として時間との関係を示すと図-4のとおりである。

図より明らかのように、荷重が増加するほどミクロポアーノの割合が大きくなり、一次圧密以後のミクロポアーノの割合はほとんど変化しない。また荷重増大とともに一次圧密終了時までの時間 (t_{100}) が短くなる傾向を示している。

つぎに、圧密試験から求めた透水係数を k_t とし、図-12、荷重増加によるマクロポアーノ、マクロ+メソポアーノの間ゲキ比の変化から、容積変化係数 $m_v(ma)$ 、 $m_v(ma+me)$ を求め、これらと C_u の値を用いて、 k_{ma} 、 $k_{macro+me}$ を計算し、各間ゲキの透水性への寄与率を、

$$\beta = \frac{k_{ma} + k_{me}}{k_t} \times 100$$

$$\gamma = \frac{k_{ma}}{k_t} \times 100$$

として表現したのが図-5である。

これから、一次圧密中の排水が大部分マクロとメソポアーノから行われていることが明らかである。

参考文献

- 1) R.N. Yong, B.P. Warkentin (1975), Soil properties and Behaviour, Elsevier scientific publishing company, pp. 247-250.

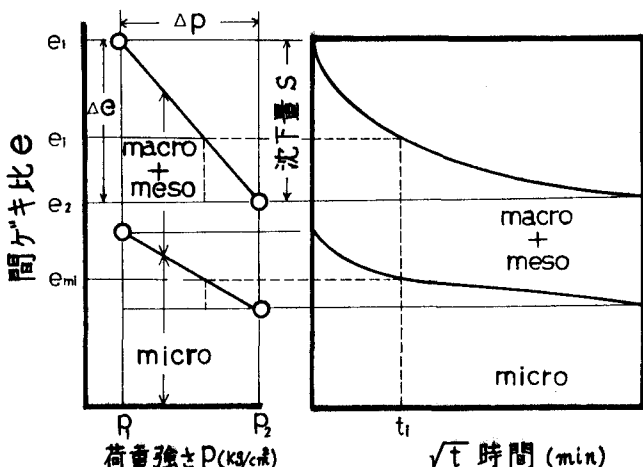


図-3 ミクロポアーノの任意荷重下での時間的変化を求める方法

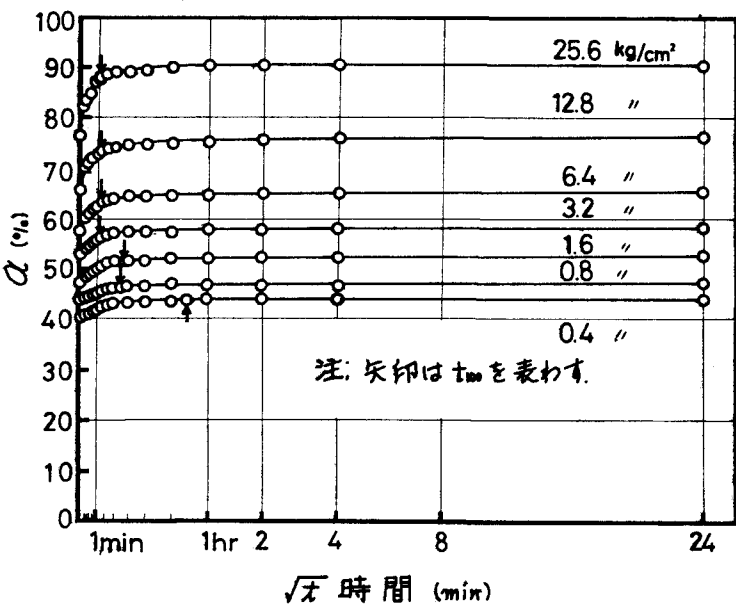


図-4 ミクロポアーノの全間ゲキに対する割合の時間的変化

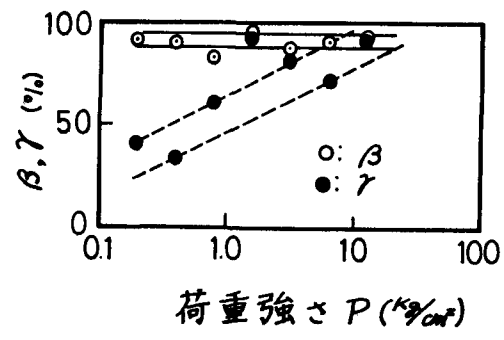


図-5 マクロポアーノの透水性に対する寄与率